

# FEJ 论文推导

崔华坤 V1.0

2019 年 8 月 26 日

本文对黄国权老师的论文 [1] (Analysis and Improvement of the Consistency of Extended Kalman Filter based SLAM) 进行详细推导, 该论文是以 2D 平面上的小车为例, 讨论其可观性和不一致性。且假设运动输入为始终沿车头方向的速度  $v$ , 和角速度  $\omega$ , 如图 1 所示, 世界系为  $W(world)$ , 小车系为  $R(obot)$ :

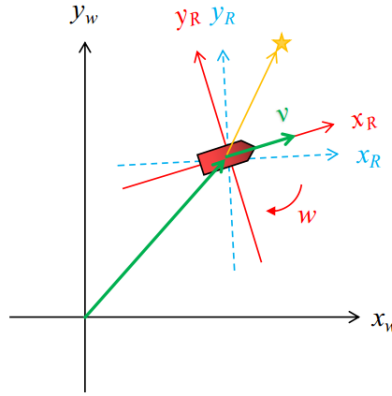


图 1: 2D 小车的运动模型

## 1 可观性定义

参考 [2] 第 8 章, 定义为: 如果根据一系列输入和输出, 可以唯一确定系统的初始状态, 则称系统可观。换句话说: 如果某个状态的初始值变了, 但是我们观测不到 (这里的观测即输出), 即观测值没变, 那么说明我们对这个状态不可观 (人家都变了, 你还不知道, 说明你没法观测到她)。如果观测变化很小, 则说明你对这个状态的可观测度低。

## 2 连续非线性系统的可观性

考虑如下连续时间的非线性系统:

$$\text{过程模型: } \dot{x} = f(x) + \sum_{k=1}^m u_k g_k(x) \quad (1)$$

$$\text{观测模型: } y = h(x) \quad (2)$$

其中,  $x$  和  $y$  是系统的状态向量和输出,  $u_k$  是输入。

根据文献 [3] 中的定理：对于连续时间非线性系统，给定  $x_0$ ，如果

$$(\nabla L_{f_s} L_{f_{s-1}} \cdots L_{f_1} z)(x), f_i = \{f_1, f_2\} \quad (3)$$

存在  $n$  个线性独立的行向量，则系统在  $x_0$  处局部可观。

我们可以从连续线性系统的角度上对上述定理做简单来源分析，我们假设连续时间线性系统为：

$$\text{过程模型：} \dot{x} = Ax + Bu \quad (4)$$

$$\text{观测模型：} y = C^T x \quad (5)$$

我们可以对观测模型连续对时间求导，可得：

$$y = C^T x \quad (6)$$

$$\dot{y} = C^T Ax + C^T Bu \Rightarrow \dot{y} - C^T Bu = C^T Ax \quad (7)$$

$$\ddot{y} = C^T A^2 x + C^T ABu + C^T B\dot{u} \Rightarrow \ddot{y} - C^T ABu - C^T B\dot{u} = C^T A^2 x \quad (8)$$

$$\vdots \quad (9)$$

$$y^{(n-1)} = \sum_{k=0}^{n-2} (C^T A^{n-2-k} B u^{(k)}) + C^T A^{n-1} x \Rightarrow y^{(n-1)} - \sum_{k=0}^{n-2} (C^T A^{n-2-k} B u^{(k)}) = C^T A^{n-1} x \quad (10)$$

整理上式可得：

$$\begin{bmatrix} y \\ \dot{y} - C^T Bu \\ \ddot{y} - C^T ABu - C^T B\dot{u} \\ \vdots \\ y^{(n-1)} - \sum_{k=0}^{n-2} (C^T A^{n-2-k} B u^{(k)}) \end{bmatrix} = \begin{bmatrix} C^T x \\ C^T Ax \\ C^T A^2 x \\ \vdots \\ C^T A^{n-1} x \end{bmatrix} = \begin{bmatrix} C^T \\ C^T A \\ C^T A^2 \\ \vdots \\ C^T A^{n-1} \end{bmatrix} x = Qx \quad (11)$$

对于连续时间下的非线性系统的可观性矩阵可写成：

$$Q = \begin{bmatrix} \frac{\partial y}{\partial x} \\ \frac{\partial \dot{y}}{\partial x} \\ \vdots \\ \frac{\partial y^{(n-1)}}{\partial x} \end{bmatrix} \quad (12)$$

首先为了便于说明，我们引入一些符号说明和李导数：

$$\nabla h(x) = \frac{\partial h}{\partial x} \quad (13)$$

$$L_f h = L_f^1 h = \frac{\partial h}{\partial x} f \quad (14)$$

$$L_f^0 h = h \quad (15)$$

$$L_f^2 h = L_f^1 (L_f^1 h) \quad (16)$$

$$L_g L_f h = \frac{\partial L_f h}{\partial x} g \quad (17)$$

为了计算可观性矩阵，我们需要推导对于连续时间的非线性系统的观测模型  $y$  对时间的一阶导数：

$$y = h \quad (18)$$

$$\dot{y} = \frac{\partial h}{\partial x} \frac{\partial x}{\partial t} = \frac{\partial h}{\partial x} \left( f + \sum_{k=1}^m u_k g_k \right) = L_f h + \sum_{k=1}^m u_k L_{g_k} h \quad (19)$$

下面我们重点来推导  $y$  对时间的二阶导：

$$\ddot{y} = \frac{\partial \dot{y}}{\partial t} = \frac{\partial}{\partial t} \left( L_f h + \sum_{k=1}^m u_k L_{g_k} h \right) = \frac{\partial L_f h}{\partial x} \frac{\partial x}{\partial t} + \sum_{k=1}^m \left[ \dot{u}_k L_{g_k} h + u_k \frac{\partial L_{g_k} h}{\partial x} \frac{\partial x}{\partial t} \right] \quad (20)$$

$$= \frac{\partial L_f h}{\partial x} \left( f + \sum_{k=1}^m u_k g_k \right) + \sum_{k=1}^m \left[ \dot{u}_k L_{g_k} h + u_k \frac{\partial L_{g_k} h}{\partial x} \left( f + \sum_{s=1}^m u_s g_s \right) \right] \quad (21)$$

$$= L_f L_f h + \sum_{k=1}^m u_k L_{g_k} L_f h + \sum_{k=1}^m \dot{u}_k L_{g_k} h + \sum_{k=1}^m u_k L_f L_{g_k} h + \sum_{k=1}^m \sum_{s=1}^m u_k u_s L_{g_s} L_{g_k} h \quad (22)$$

### 3 状态向量

状态向量为小车在世界系中的 2D 位置  $p_{w \leftarrow R}$ ，和世界系到小车之间的旋转角度  $\phi$ ，以及世界系下的 2D 路标点  $p_L$ ：

$$X^{5 \times 1} = \begin{bmatrix} p_{w \leftarrow R} \\ \phi_{w \rightarrow R} \\ p_L \end{bmatrix} = \begin{bmatrix} {}^w \vec{r}_{w \rightarrow R} \\ \phi_{w \rightarrow R} \\ {}^w \vec{r}_{w \rightarrow L} \end{bmatrix} = \begin{bmatrix} x_R \\ y_R \\ \phi \\ x_L \\ y_L \end{bmatrix} \quad (23)$$

### 4 EKF Propagation

根据运动学模型，当前时刻的状态向量对时间的导数为：

$$\dot{X} = \begin{bmatrix} \dot{x}_R \\ \dot{y}_R \\ \dot{\phi} \\ \dot{x}_L \\ \dot{y}_L \end{bmatrix} = \begin{bmatrix} v \cos \phi \\ v \sin \phi \\ \omega \\ 0 \\ 0 \end{bmatrix} = \begin{bmatrix} \cos \phi \\ \sin \phi \\ 0 \\ 0 \\ 0 \end{bmatrix} v + \begin{bmatrix} 0 \\ 0 \\ 1 \\ 0 \\ 0 \end{bmatrix} \omega = f_1 v + f_2 \omega \quad (24)$$

## 5 EKF update

观测方程可以用小车系观测到的路标点  $p_{R \leftarrow L}$  来表示：

$$z = R_{w \leftarrow R}^T (p_L - p_{w \leftarrow R}) \quad (25)$$

$$= R_{w \leftarrow R}^T ({}_w \vec{r}_{w \rightarrow L} - {}_w \vec{r}_{w \rightarrow R}) \quad (26)$$

$$= R_{w \leftarrow R}^T ({}_w \vec{r}_{w \rightarrow L} + {}_w \vec{r}_{R \rightarrow w}) \quad (27)$$

$$= R_{w \leftarrow R}^T ({}_w \vec{r}_{R \rightarrow L}) \quad (28)$$

$$= {}_R \vec{r}_{R \rightarrow L} \quad (29)$$

$$= p_{R \leftarrow L} \quad (30)$$

根据几何关系，上面观测方程可写成：

$$z = p_{R \leftarrow L} \quad (31)$$

$$= \begin{bmatrix} \cos \phi (x_L - x_R) + \sin \phi (y_L - y_R) \\ -\sin \phi (x_L - x_R) + \cos \phi (y_L - y_R) \end{bmatrix} \quad (32)$$

$$= \begin{bmatrix} h_1 \\ h_2 \end{bmatrix} \quad (33)$$

## 6 计算可观性矩阵

对于连续时间下的非线性系统的可观性矩阵可写成：

$$Q = \begin{bmatrix} \frac{\partial z}{\partial X} \\ \frac{\partial \dot{z}}{\partial X} \\ \frac{\partial \ddot{z}}{\partial X} \end{bmatrix} = \begin{bmatrix} \frac{\partial h_1}{\partial X} \\ \frac{\partial h_2}{\partial X} \\ \frac{\partial \dot{h}_1}{\partial X} \\ \frac{\partial \dot{h}_2}{\partial X} \\ \frac{\partial \ddot{h}_1}{\partial X} \\ \frac{\partial \ddot{h}_2}{\partial X} \end{bmatrix} \quad (34)$$

### 6.1 $z$ 关于 $X$ 的 Jacobian $\frac{\partial z}{\partial X}$

首先，计算观测量  $z$  关于状态向量  $X$  的 Jacobian：

$$\nabla h_1 = \frac{\partial h_1}{\partial X} = \begin{bmatrix} -\cos \phi & -\sin \phi & -\sin \phi (x_L - x_R) + \cos \phi (y_L - y_R) & \cos \phi & \sin \phi \end{bmatrix} \quad (35)$$

$$\nabla h_2 = \frac{\partial h_2}{\partial X} = \begin{bmatrix} \sin \phi & -\cos \phi & -\cos \phi (x_L - x_R) - \sin \phi (y_L - y_R) & -\sin \phi & \cos \phi \end{bmatrix} \quad (36)$$

6.2  $\dot{z}$  关于  $X$  的 Jacobian  $\frac{\partial \dot{z}}{\partial X}$ 

首先, 我们推导观测值  $z$  对时间的导数:

$$\dot{z} = \frac{\partial z}{\partial X} \frac{\partial X}{\partial t} \quad (37)$$

$$= \begin{bmatrix} \frac{\partial h_1}{\partial X} (f_1 v + f_2 \omega) \\ \frac{\partial h_2}{\partial X} (f_1 v + f_2 \omega) \end{bmatrix} \quad (38)$$

$$= \begin{bmatrix} L_{f_1} h_1 v + L_{f_2} h_1 \omega \\ L_{f_1} h_2 v + L_{f_2} h_2 \omega \end{bmatrix} \quad (39)$$

其中,

$$L_{f_1} h_1 = \frac{\partial h_1}{\partial X} f_1 = -\cos^2 \phi - \sin^2 \phi = -1 \quad (40)$$

$$L_{f_2} h_1 = \frac{\partial h_1}{\partial X} f_2 = -\sin \phi (x_L - x_R) + \cos \phi (y_L - y_R) \quad (41)$$

$$L_{f_1} h_2 = \sin \phi \cos \phi - \cos \phi \sin \phi = 0 \quad (42)$$

$$L_{f_2} h_2 = -\cos \phi (x_L - x_R) - \sin \phi (y_L - y_R) \quad (43)$$

那么,  $\dot{z}$  可整理成:

$$\dot{z} = \begin{bmatrix} -v + [-\sin \phi (x_L - x_R) + \cos \phi (y_L - y_R)] \omega \\ [-\cos \phi (x_L - x_R) - \sin \phi (y_L - y_R)] \omega \end{bmatrix} \quad (44)$$

最终,  $\frac{\partial \dot{z}}{\partial X}$  可计算为:

$$\frac{\partial \dot{z}}{\partial X} = \begin{bmatrix} \sin \phi & -\cos \phi & -\cos \phi (x_L - x_R) - \sin \phi (y_L - y_R) & -\sin \phi & \cos \phi \\ \cos \phi & \sin \phi & \sin \phi (x_L - x_R) - \cos \phi (y_L - y_R) & -\cos \phi & -\sin \phi \end{bmatrix} \omega \quad (45)$$

6.3  $\ddot{z}$  关于  $X$  的 Jacobian  $\frac{\partial \ddot{z}}{\partial X}$ 

首先, 我们计算  $z$  关于时间的二阶导数:

$$\ddot{z} = \frac{\partial \dot{z}}{\partial X} \frac{\partial X}{\partial t} \quad (46)$$

$$= \begin{bmatrix} \frac{\partial \dot{z}}{\partial X} (f_1 v + f_2 \omega) \end{bmatrix} \quad (47)$$

$$= \begin{bmatrix} L_{f_1} L_{f_1} h_1 v^2 + L_{f_1} L_{f_2} h_1 v \omega + L_{f_2} L_{f_1} h_1 v \omega + L_{f_2} L_{f_2} h_1 \omega^2 \\ L_{f_1} L_{f_1} h_2 v^2 + L_{f_1} L_{f_2} h_2 v \omega + L_{f_2} L_{f_1} h_2 v \omega + L_{f_2} L_{f_2} h_2 \omega^2 \end{bmatrix} \quad (48)$$

$$= \begin{bmatrix} L_{f_1} L_{f_2} h_1 v \omega + L_{f_2} L_{f_2} h_1 \omega^2 \\ L_{f_1} L_{f_2} h_2 v \omega + L_{f_2} L_{f_2} h_2 \omega^2 \end{bmatrix} \quad (49)$$

其中,

$$L_{f_1} L_{f_2} h_1 = \frac{\partial L_{f_2} h_1}{\partial X} f_1 \quad (50)$$

$$= \begin{bmatrix} \sin \phi & -\cos \phi & -\cos \phi (x_L - x_R) - \sin \phi (y_L - y_R) & -\sin \phi & \cos \phi \end{bmatrix} f_1 \quad (51)$$

$$= \sin \phi \cos \phi - \cos \phi \sin \phi = 0 \quad (52)$$

$$L_{f_2} L_{f_2} h_1 = \frac{\partial L_{f_2} h_1}{\partial X} f_2 \quad (53)$$

$$= \begin{bmatrix} \sin \phi & -\cos \phi & -\cos \phi (x_L - x_R) - \sin \phi (y_L - y_R) & -\sin \phi & \cos \phi \end{bmatrix} f_2 \quad (54)$$

$$= -\cos \phi (x_L - x_R) - \sin \phi (y_L - y_R) \quad (55)$$

$$L_{f_1} L_{f_2} h_2 = \frac{\partial L_{f_2} h_2}{\partial X} f_1 \quad (56)$$

$$= \begin{bmatrix} \cos \phi & \sin \phi & \sin \phi (x_L - x_R) - \cos \phi (y_L - y_R) & -\cos \phi & \sin \phi \end{bmatrix} f_1 \quad (57)$$

$$= \cos \phi \cos \phi + \sin \phi \sin \phi = 1 \quad (58)$$

$$L_{f_2} L_{f_2} h_2 = \frac{\partial L_{f_2} h_2}{\partial X} f_2 \quad (59)$$

$$= \begin{bmatrix} \cos \phi & \sin \phi & \sin \phi (x_L - x_R) - \cos \phi (y_L - y_R) & -\cos \phi & \sin \phi \end{bmatrix} f_2 \quad (60)$$

$$= \sin \phi (x_L - x_R) - \cos \phi (y_L - y_R) \quad (61)$$

那么,  $\ddot{z}$  可整理成:

$$\ddot{z} = \begin{bmatrix} [-\cos \phi (x_L - x_R) - \sin \phi (y_L - y_R)] \omega^2 \\ v\omega + [\sin \phi (x_L - x_R) - \cos \phi (y_L - y_R)] \omega^2 \end{bmatrix} \quad (62)$$

最终,  $\frac{\partial \ddot{z}}{\partial X}$  可计算得:

$$\frac{\partial \ddot{z}}{\partial X} = \begin{bmatrix} \cos \phi & \sin \phi & \sin \phi (x_L - x_R) - \cos \phi (y_L - y_R) & -\cos \phi & -\sin \phi \\ -\sin \phi & \cos \phi & \cos \phi (x_L - x_R) + \sin \phi (y_L - y_R) & \sin \phi & -\cos \phi \end{bmatrix} \omega^2 \quad (63)$$

## 7 可观性矩阵

最后，我们将可观性矩阵拼凑如下：

$$Q = \begin{bmatrix} \frac{\partial h_1}{\partial X} \\ \frac{\partial h_2}{\partial X} \\ \frac{\partial h_1}{\partial X} \\ \frac{\partial h_2}{\partial X} \\ \frac{\partial h_1}{\partial X} \\ \frac{\partial h_2}{\partial X} \end{bmatrix} \quad (64)$$

$$= \begin{bmatrix} -\cos \phi & -\sin \phi & -\sin \phi (x_L - x_R) + \cos \phi (y_L - y_R) & \cos \phi & \sin \phi \\ \sin \phi & -\cos \phi & -\cos \phi (x_L - x_R) - \sin \phi (y_L - y_R) & -\sin \phi & \cos \phi \\ [\sin \phi & -\cos \phi & -\cos \phi (x_L - x_R) - \sin \phi (y_L - y_R) & -\sin \phi & \cos \phi] \omega \\ [\cos \phi & \sin \phi & \sin \phi (x_L - x_R) - \cos \phi (y_L - y_R) & -\cos \phi & -\sin \phi] \omega \\ [\cos \phi & \sin \phi & \sin \phi (x_L - x_R) - \cos \phi (y_L - y_R) & -\cos \phi & -\sin \phi] \omega^2 \\ [-\sin \phi & \cos \phi & \cos \phi (x_L - x_R) + \sin \phi (y_L - y_R) & \sin \phi & -\cos \phi] \omega^2 \end{bmatrix} \quad (65)$$

$$\triangleq \begin{bmatrix} \sin \phi & -\cos \phi & -\cos \phi (x_L - x_R) - \sin \phi (y_L - y_R) & -\sin \phi & \cos \phi \\ \cos \phi & \sin \phi & \sin \phi (x_L - x_R) - \cos \phi (y_L - y_R) & -\cos \phi & -\sin \phi \end{bmatrix} \quad (66)$$

很明显， $\text{rank}(Q) = 2$ 。

## 8 可观性矩阵的零空间

$$\text{nullspace}(Q) = \begin{bmatrix} 1 & 0 & -y_R \\ 0 & 1 & x_R \\ 0 & 0 & 1 \\ 1 & 0 & -y_L \\ 0 & 1 & x_L \end{bmatrix} \triangleq \begin{bmatrix} n_1 & n_2 & n_3 \end{bmatrix} \quad (67)$$

那么，对于  $n_1, n_2$  我们发现，当状态向量改变  $\Delta X = \alpha n_1 + \beta n_2$  时，相当于小车位置和路标点沿  $x$  方向移动  $\alpha$  单位，沿  $y$  方向移动  $\beta$  单位，也就是说，若小车和路标点平移相同的距离，测量值（路标点在小车系下的坐标值）不随状态向量的变化而变化，即测量值对于  $X$  和  $X + \Delta X$  这两种状态向量是观测不出来的，即不可观。我们可以称之为： $x_R$  和  $x_L$ 、以及  $y_R$  和  $y_L$  彼此联合不可观。

对于  $n_3$ ，我们可以假设对某一坐标系做一微小的角度扰动  $\delta\phi$ ，那么，对于该下的一个点  $x = \begin{bmatrix} x & y \end{bmatrix}^T$ ，旋转之后的位置为：

$$\begin{bmatrix} x' \\ y' \end{bmatrix} = R_{F' \leftarrow F} \begin{bmatrix} x \\ y \end{bmatrix} = \begin{bmatrix} 1 & -\delta\phi \\ \delta\phi & 1 \end{bmatrix} \begin{bmatrix} x \\ y \end{bmatrix} = \begin{bmatrix} x \\ y \end{bmatrix} + \delta\phi \begin{bmatrix} -y \\ x \end{bmatrix} \quad (68)$$

根据这个结论，我们让小车和路标点都旋转  $\delta\phi$ ，那么状态向量可变成：

$$X' = \begin{bmatrix} x'_R \\ y'_R \\ \phi' \\ x'_L \\ y'_L \end{bmatrix} = \begin{bmatrix} x_R \\ y_R \\ \phi \\ x_L \\ y_L \end{bmatrix} + \delta\phi \begin{bmatrix} -y_R \\ x_R \\ 1 \\ -y_L \\ x_L \end{bmatrix} = X + \delta\phi n_3 \quad (69)$$

因此，对于这种旋转，观测量也是不会随之变化的。因此，对于这样的系统，小车的位移和旋转角度都是不可观的。

## 9 EKF-SLAM 可观性分析

对于 EKF-SLAM 系统，从  $k$  时刻到  $k+m$  时刻的局部可观性矩阵可写成：

$$\mathbf{M} \triangleq \begin{bmatrix} \mathbf{H}_k \\ \mathbf{H}_{k+1} \Phi_k \\ \vdots \\ \mathbf{H}_{k+m} \Phi_{k+m-1} \cdots \Phi_k \end{bmatrix} \quad (70)$$

其中，运动和观测方程可写成：

$$\text{运动方程: } \tilde{\mathbf{X}}_{k+1|k} = \begin{bmatrix} \Phi_{R_k} & \mathbf{0}_{3 \times 2} \\ \mathbf{0}_{2 \times 3} & \mathbf{I}_2 \end{bmatrix} \begin{bmatrix} \tilde{\mathbf{X}}_{R|k} \\ \tilde{\mathbf{p}}_{L|k} \end{bmatrix} + \begin{bmatrix} \mathbf{G}_{R_k} \\ \mathbf{0}_{2 \times 2} \end{bmatrix} \mathbf{w}_k \triangleq \Phi_k \tilde{\mathbf{X}}_{k|k} + \mathbf{G}_k \mathbf{w}_k \quad (71)$$

$$\text{观测方程: } \tilde{\mathbf{z}}_k \simeq [\mathbf{H}_{R_k} \quad \mathbf{H}_{L_k}] \begin{bmatrix} \tilde{\mathbf{X}}_{R|k-1} \\ \tilde{\mathbf{X}}_{L|k-1} \end{bmatrix} + \mathbf{v}_k \triangleq \mathbf{H}_k \tilde{\mathbf{X}}_{k|k-1} + \mathbf{v}_k \quad (72)$$

那么，上式的可观性矩阵可化简为：

$$\mathbf{M} = \begin{bmatrix} \mathbf{H}_{R_k} & \mathbf{H}_{L_k} \\ \mathbf{H}_{R_{k+1}} \Phi_{R_k} & \mathbf{H}_{L_{k+1}} \\ \vdots & \vdots \\ \mathbf{H}_{R_{k+m}} \Phi_{R_{k+m-1}} \cdots \Phi_{R_k} & \Phi_{L_k} \end{bmatrix} \quad (73)$$

$$= \text{Diag}(\mathbf{H}_{L_k}, \dots, \mathbf{H}_{L_{k+m}}) \times \underbrace{\begin{bmatrix} \mathbf{H}_{L_k}^{-1} \mathbf{H}_{R_k} & \mathbf{I}_2 \\ \mathbf{H}_{L_{k+1}}^{-1} \mathbf{H}_{R_{k+1}} \Phi_{R_k} & \mathbf{I}_2 \\ \vdots & \vdots \\ \mathbf{H}_{L_{k+m}}^{-1} \mathbf{H}_{R_{k+m}} \Phi_{R_{k+m-1}} \cdots \Phi_{R_k} & \mathbf{I}_2 \end{bmatrix}}_{\mathbf{N}} \quad (74)$$

因此，当且仅当  $\mathbf{M}$  满秩时，系统为局部可观。易知， $\text{rank}(\mathbf{M}) = \text{rank}(\mathbf{N})$ ，因此，接下来我们只要分析  $\mathbf{N}$  的秩和零空间即可。



## 10 理想 EKF-SLAM 的系统可观性

当 EKF-SLAM 的 Jacobian 线性化点均为真值时，有：

$$\check{\Phi}_{R_{k+i-1}} \check{\Phi}_{R_{k+i-2}} \cdots \check{\Phi}_{R_k} = \begin{bmatrix} \mathbf{I}_2 & \mathbf{J}(\mathbf{p}_{R_{k+i}} - \mathbf{p}_{R_k}) \\ \mathbf{0}_{1 \times 2} & \mathbf{1} \end{bmatrix} \quad (75)$$

另外，根据更新的 Jacobian：

$$\begin{aligned} \mathbf{H}_{R_k} &= (\nabla \mathbf{h}_k) \mathbf{C}^T (\hat{\phi}_{R_{k|k-1}}) [-\mathbf{I}_2 \quad -\mathbf{J}(\hat{\mathbf{p}}_{L_{k|k-1}} - \hat{\mathbf{p}}_{R_{k|k-1}})] \\ \mathbf{H}_{L_k} &= (\nabla \mathbf{h}_k) \mathbf{C}^T (\hat{\phi}_{R_{k|k-1}}) \end{aligned} \quad (76)$$

可计算出：

$$\check{\mathbf{H}}_{L_{k+i}}^{-1} \check{\mathbf{H}}_{R_{k+i}} \check{\Phi}_{R_{k+i-1}} \cdots \check{\Phi}_{R_k} \quad (77)$$

$$= \mathbf{C}^{-T}(\phi_{R_{k+i}}) (\nabla \check{\mathbf{h}}_{k+i})^{-1} \left( (\nabla \check{\mathbf{h}}_{k+i}) \mathbf{C}^T(\phi_{R_{k+i}}) [-\mathbf{I}_2 \quad -\mathbf{J}(\mathbf{p}_L - \mathbf{p}_{R_{k+i}})] \right) \begin{bmatrix} \mathbf{I}_2 & \mathbf{J}(\mathbf{p}_{R_{k+i}} - \mathbf{p}_{R_k}) \\ \mathbf{0}_{1 \times 2} & \mathbf{1} \end{bmatrix} \quad (78)$$

$$= \mathbf{C}(\phi_{R_{k+1}}) (-\mathbf{C}^T(\phi_{R_{k+1}}) [\mathbf{I}_2 \quad \mathbf{J}(\mathbf{p}_L - \mathbf{p}_{R_k})]) \quad (79)$$

$$= -[\mathbf{I}_2 \quad \mathbf{J}(\mathbf{p}_L - \mathbf{p}_{R_k})] \quad (80)$$

$$= \mathbf{C}(\phi_{R_k}) (-\mathbf{C}^T(\phi_{R_k}) [\mathbf{I}_2 \quad \mathbf{J}(\mathbf{p}_L - \mathbf{p}_{R_k})]) \quad (81)$$

$$= \mathbf{C}^{-T}(\phi_{R_k}) (\nabla \check{\mathbf{h}}_k)^{-1} \left( (\nabla \check{\mathbf{h}}_k) \mathbf{C}^T(\phi_{R_k}) [-\mathbf{I}_2 \quad -\mathbf{J}(\mathbf{p}_L - \mathbf{p}_{R_k})] \right) \quad (82)$$

$$\triangleq \check{\mathbf{H}}_{L_k}^{-1} \check{\mathbf{H}}_{R_k} \quad (83)$$

那么，可观性矩阵可写成：

$$\check{\mathbf{N}} = \begin{bmatrix} \check{\mathbf{H}}_{L_k}^{-1} \check{\mathbf{H}}_{R_k} & \mathbf{I}_2 \\ \check{\mathbf{H}}_{L_k}^{-1} \check{\mathbf{H}}_{R_k} & \mathbf{I}_2 \\ \vdots & \vdots \\ \check{\mathbf{H}}_{L_k}^{-1} \check{\mathbf{H}}_{R_k} & \mathbf{I}_2 \end{bmatrix} = \begin{bmatrix} -\mathbf{I}_2 & -\mathbf{J}(\mathbf{p}_L - \mathbf{p}_{R_k}) & \mathbf{I}_2 \\ -\mathbf{I}_2 & -\mathbf{J}(\mathbf{p}_L - \mathbf{p}_{R_k}) & \mathbf{I}_2 \\ \vdots & & \vdots \\ -\mathbf{I}_2 & -\mathbf{J}(\mathbf{p}_L - \mathbf{p}_{R_k}) & \mathbf{I}_2 \end{bmatrix} \quad (84)$$

易知， $\text{rank}(\check{\mathbf{N}}) = 2$ ，因此，理想 EKF-SLAM 系统也是不可观的。

### 10.1 实际 EKF-SLAM 的系统可观性

对于实际系统，Jacobian 的线性化点通常在状态向量的估计值位置，如果重复上面的计算过程，会发现  $\text{rank}(\mathbf{N}) = 3$ 。通过分析  $\mathbf{N}$  的右零空间可知：

$$\text{null}(\mathbf{N}) = \begin{bmatrix} 1 & 0 \\ 0 & 1 \\ 0 & 0 \\ 1 & 0 \\ 0 & 1 \end{bmatrix} = [\mathbf{n}_1 \quad \mathbf{n}_2] \quad (85)$$

对比之前计算的可观性矩阵的零空间即公式 (67) 易知，原来的  $n_3$  所表示的小车的旋转角度不可观这一信息丢失了，即实际 EKF-SLAM 认为小车的旋转角度  $\phi$  是可观的，也就是说该系统引入一些虚假的观测信

息。

## 11 FEJ

针对实际 EKF-SLAM 的可观性变化问题，黄老师提出 FEJ，认为即使 Jacobian 不能在真值处线性化，只要保证在同一点处进行线性化，就可以解决可观性变化问题。具体操作方法为：

1. 在第  $k+1$  时刻传播时的线性化点，不采用第  $k$  时刻更新后的状态向量，即  $\hat{X}_{k|k}$  的后验作为线性化点，而是仍然用先验  $\hat{X}_{k|k-1}$ ；

2. 观测时，对于同一个路标点在不同时刻的线性化点（如  $p_{L_k}, p_{L_{k+1}}, \dots, p_{L_{k+m}}$ ），都采用第一次观测到该路标点时的值  $p_{L_k}$  作为线性化点。

经过上面两步计算得到的  $\mathbf{N}'$  为：

$$\mathbf{N}' = \begin{bmatrix} -\mathbf{I}_2 & -\mathbf{J}(\hat{\mathbf{p}}_{L_{\ell|k}} - \hat{\mathbf{p}}_{R|k-1}) & \mathbf{I}_2 \\ -\mathbf{I}_2 & -\mathbf{J}(\hat{\mathbf{p}}_{L_{\ell|k}} - \hat{\mathbf{p}}_{R|k-1}) & \mathbf{I}_2 \\ -\mathbf{I}_2 & -\mathbf{J}(\hat{\mathbf{p}}_{L_{\ell|k}} - \hat{\mathbf{p}}_{R_{k|k-1}}) & \mathbf{I}_2 \\ \vdots & \vdots & \vdots \\ -\mathbf{I}_2 & -\mathbf{J}(\hat{\mathbf{p}}_{L_{\ell|k}} - \hat{\mathbf{p}}_{R_{k|k-1}}) & \mathbf{I}_2 \end{bmatrix} \quad (86)$$

则回归到： $\text{rank}(\mathbf{N}') = 2$ 。

## 12 参考文献

### 参考文献

- [1] Anastasios I. Mourikis Guoquan Huang and Stergios I. Roumeliotis. Analysis and improvement of the consistency of extended kalman filter based slam. ICRA, 2007.
- [2] 全权. 多旋翼飞行器设计与控制. 电子工业出版社, 2018.
- [3] Vidyasagar M. Nonlinear systems analysis. page 418. Society for Industrial and Applied Mathematics, Philadelphia, 2002.